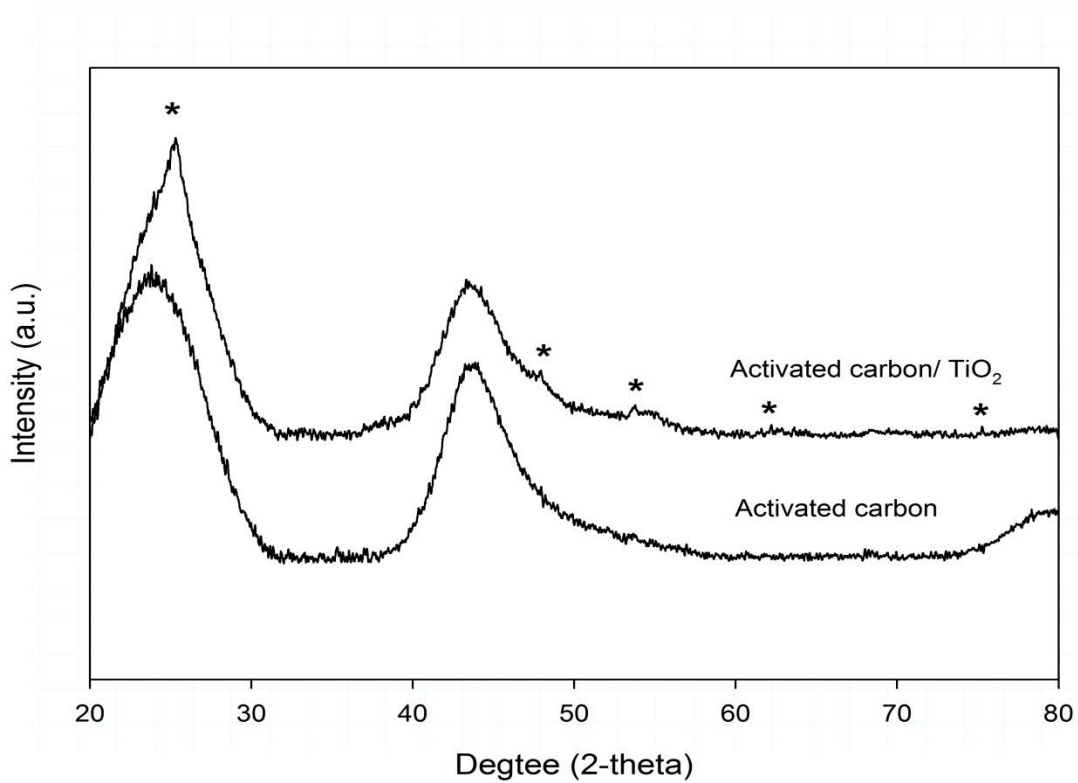


บทที่ 4 ผลการวิจัย

1. การวิเคราะห์ลักษณะทางกายภาพของตัวเร่งปฏิกิริยา AC /TiO₂

1.1 ผลการวิเคราะห์โครงสร้างของตัวเร่งปฏิกิริยา AC /TiO₂

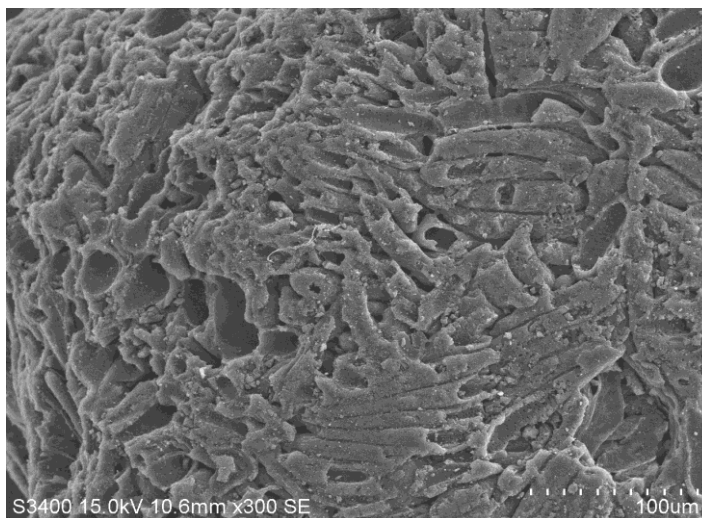
จากการศึกษาเกี่ยวกับโครงสร้างผลึก (Crystal Structure) โดยใช้ตัวอย่างของตัวเร่งปฏิกิริยา AC/TiO₂ ที่เตรียมขึ้นเปรียบเทียบกับตัวอย่างถ่านกัมมันต์ที่ไม่ได้ทำการเคลือบ TiO₂ ทำให้สามารถพบรูปแบบการเลี้ยวเบนที่เปลี่ยนไปของรังสีเอ็กซ์เมื่อตกกระทบที่หน้าผลึกของตัวอย่างผงตัวเร่งปฏิกิริยา ดังภาพที่ 4.1



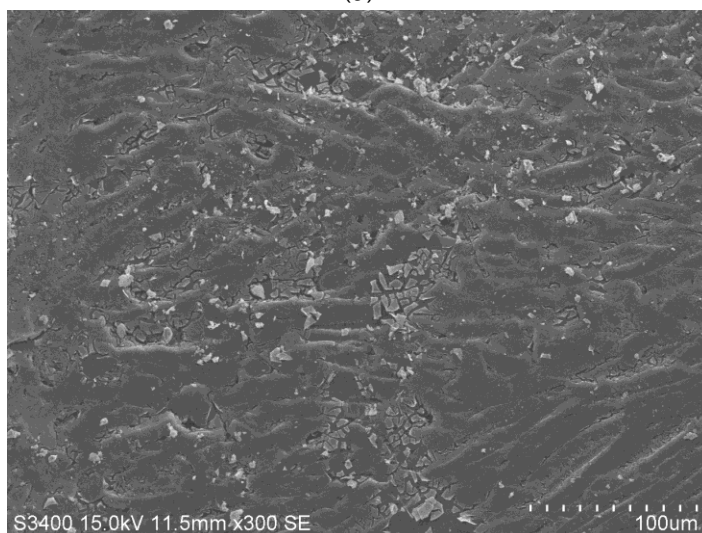
ภาพที่ 4.1 การเลี้ยวเบนรังสีเอ็กซ์ของผงตัวเร่งปฏิกิริยา AC/TiO₂ เปรียบเทียบกับถ่านกัมมันต์ที่ไม่ได้เคลือบ TiO₂

1.2 การวิเคราะห์ลักษณะทางกายภาพและการกระจายตัวของตัวเร่งปฏิกิริยา AC /TiO₂

การวิเคราะห์ ลักษณะทางกายภาพของตัวเร่งปฏิกิริยา AC /TiO₂ และการกระจายตัวของ TiO₂ บนถ่านกัมมันต์ โดยใช้ตัวอย่างของตัวเร่งปฏิกิริยา AC/TiO₂ ที่เตรียมขึ้นเปรียบเทียบกับตัวอย่างถ่านกัมมันต์ที่ไม่ได้ทำการเคลือบ TiO₂ ซึ่งทำการวิเคราะห์ด้วยอุปกรณ์โดยกล้องจุลทรรศน์อิเล็กตรอนแบบส่องกราด (Scanning Electron Microscopy, SEM) แสดงดังภาพที่ 4.2



(a)



(b)

ภาพที่ 4.2 ลักษณะทางกายภาพและการกระจายตัวของตัวเร่งปฏิกิริยา AC/TiO₂
(a) ถ่านกัมมันต์ (b) AC/TiO₂

จากรูปที่ 4.2 แสดงให้เห็นว่าเมื่อวิเคราะห์ภาพถ่ายลักษณะทางกายภาพและการกระจายตัวของตัวเร่งปฏิกิริยา AC/TiO₂ พบว่า มีการกระจายตัวของอนุภาค TiO₂ ที่มีการเคลือบผิวอยู่บนถ่านกัมมันต์อย่างชัดเจน นอกจากนี้เมื่อนำตัวอย่างตัวเร่งปฏิกิริยา AC/TiO₂ ไปวิเคราะห์ปริมาณธาตุ (% weight) ผลการทดลองพบว่าการพบปริมาณ TiO₂ ที่เคลือบอยู่บนถ่านกัมมันต์เช่นเดียวกัน ดังแสดงในตารางที่ 4.1

ตารางที่ 4.1 แสดงปริมาณธาตุ (% weight) ที่พบบนตัวเร่งปฏิกิริยา AC/TiO₂

ตัวอย่าง	C (%)	O (%)	Ti (%)
AC/TiO ₂	66.29	22.38	11.34

1.3 ผลการวิเคราะห์หาค่าพื้นผิวเฉพาะ ปริมาตร ขนาดรูพรุน และ Iodine Number ของตัวเร่งปฏิกิริยา AC/TiO₂

จากการศึกษาสามารถเตรียมตัวเร่งปฏิกิริยา AC/TiO₂ ได้ด้วยวิธีโซล-เจล และเมื่อนำตัวเร่งปฏิกิริยา AC/TiO₂ ไปศึกษาลักษณะทางกายภาพ โดยเทคนิค Branuer-Emmett-Teller Method เพื่อวิเคราะห์หาค่าพื้นผิวเฉพาะ ปริมาตร ขนาดรูพรุนและ Iodine Number ซึ่งผลการศึกษาดังแสดงในตารางที่ 4.2

ตารางที่ 4.2 พื้นผิวเฉพาะ ปริมาตร ขนาดรูพรุนและ Iodine Number ของตัวเร่งปฏิกิริยาไทเทเนียมไดออกไซด์ที่ซึบบนถ่านกัมมันต์

ถ่านกัมมันต์	พื้นที่ผิวเฉพาะ m ² /g	ปริมาตรรูพรุน mL/g	ขนาดของรูพรุน Å	Iodine Number mg/g
AC	981	6.323×10^{-1}	62.35	1,070
AC/TiO ₂	8.79	0.126×10^{-1}	20.67	6.42

จากข้อมูลในตารางที่ 4.2 ในการศึกษาพื้นที่ผิวเฉพาะของ AC/TiO₂ พบว่า AC มีพื้นที่ผิวเฉพาะ 981 m²/g ซึ่ง AC/TiO₂ มีพื้นที่ผิวที่ลดลงอย่างชัดเจนเหลือเพียง 8.79 m²/g จะเห็นได้ว่าผลมีความสอดคล้องกับปริมาตรและขนาดของรูพรุนที่ลดลง คือ 1.257×10^{-2} mL/g และ 20.67 Å ตามลำดับ เนื่องจากอนุภาคของ TiO₂ ในสารละลายที่เตรียมโดยวิธีโซล-เจล นอกจากเคลือบที่ผิวชั้นนอกของถ่านกัมมันต์แล้วยังสามารถแทรกตัวอยู่ในช่องว่างขนาดใหญ่และขนาดเล็กของถ่านกัมมันต์ได้ ยังส่งผลค่า Iodine Number ของ AC และ AC/TiO₂ พบว่าค่า Iodine Number ของ AC มีค่ามากกว่าค่า Iodine Number ของ AC/TiO₂ อย่างชัดเจน ผลการศึกษาดังกล่าวสอดคล้องกับการศึกษาของ B. Tryba et al. (2003) ได้ทำการศึกษาซึบไทเทเนียมไดออกไซด์บนถ่านกัมมันต์ ที่อุณหภูมิ 700 °C พบว่า ลักษณะของพื้นผิวหลังจากกระบวนการ Carbonization ที่ 700 °C ไทเทเนียมไดออกไซด์ที่เคลือบกับอนุภาคคาร์บอนจะมีการปิดกั้นการใช้งานของช่องว่างภายในถ่านกัมมันต์และก่อให้เกิดการลดลงของพื้นผิวจำเพาะ ทำให้กระบวนการดูดซับที่เกิดขึ้นส่วนใหญ่เกิดขึ้นที่พื้นผิวของอนุภาคไทเทเนียมไดออกไซด์

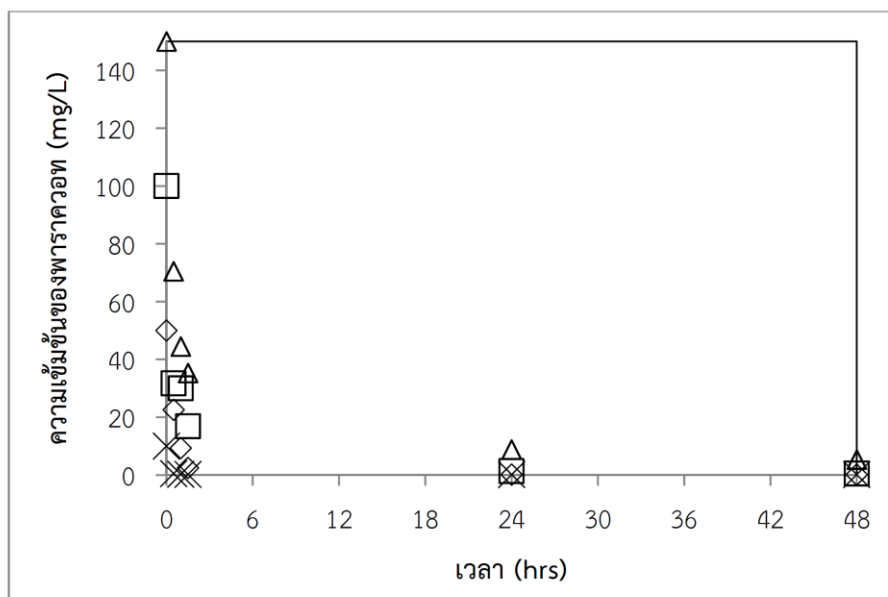
2. การศึกษาประสิทธิภาพการกำจัดพาราควอทโดยกระบวนการโฟโตคะตะไลติก

ในการศึกษาประสิทธิภาพการกำจัดพาราควอทโดยกระบวนการโฟโตคะตะไลติก ซึ่งทำการทดลองโดยใช้ตัวเร่งปฏิกิริยา AC/TiO₂ ที่เตรียมได้ร่วมกับการให้แสงอัลตราไวโอเล็ต และทำการทดลองซ้ำในชุดควบคุมซึ่งใช้ตัวเร่งปฏิกิริยา AC/TiO₂ ในที่มืดซึ่งไม่มีการให้แสงอัลตราไวโอเล็ตที่ความเข้มข้นเริ่มต้นและเวลาต่างๆ โดยความสัมพันธ์ของแสดงดังตารางที่ 4.3 และภาพที่ 4.3 – 4.4

ตารางที่ 4.3 การเปลี่ยนแปลงความเข้มข้นของพาราควอทด้วยกระบวนการโฟโตคะตะไลติกร่วมกับตัวเร่งปฏิกิริยา AC/TiO₂

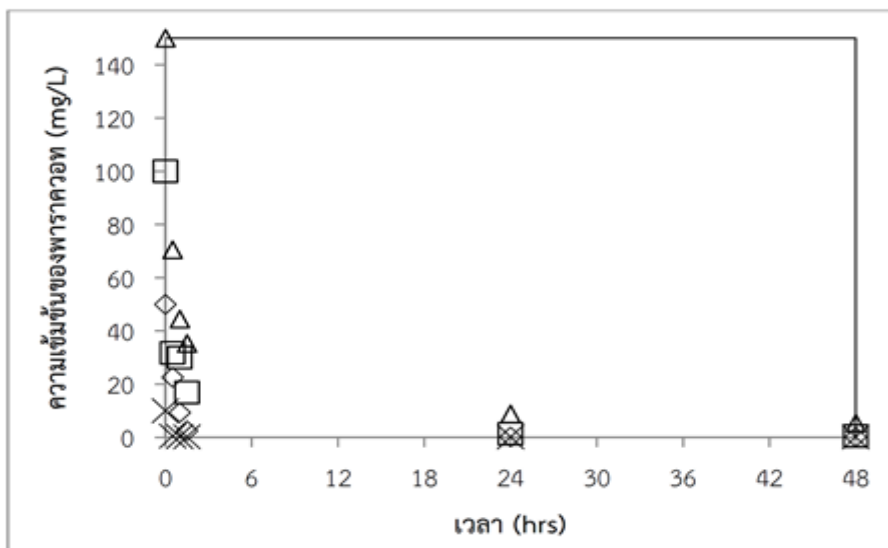
เวลา (ชั่วโมง)	ความเข้มข้นของพาราควอท (mg/L)							
	ชุดควบคุม (ที่มืด)				กระบวนการโฟโตคะตะไลติกร่วมกับ ตัวเร่งปฏิกิริยา AC/TiO ₂			
0	10.00	50.00	100.00	150.00	10.00	50.00	100.00	150.00
0.5	2.52	23.55	49.02	78.84	0.49	22.56	31.72	70.46
1	0.76	14.39	36.63	65.73	0.28	9.34	29.98	44.42
1.5	0.21	6.74	6.69	53.53	0.22	2.41	16.85	35.29
24	0.19	0.21	6.32	15.63	0.16	0.17	1.36	8.80
48	0.12	0.15	1.85	12.27	0.15	0.16	0.53	5.36

จากตารางที่ 4.3 และภาพที่ 4.3 - 4.4 แสดงให้เห็นว่าปริมาณความเข้มข้นของพาราควอทที่ปนเปื้อนในน้ำเสียสังเคราะห์มีแนวโน้มลดลงอย่างต่อเนื่องเมื่อเวลาผ่านไป ซึ่งปริมาณความเข้มข้นของพาราควอทที่ลดลงในชุดควบคุมเป็นผลมาจากพื้นผิวเฉพาะ ปริมาตร ขนาดรูพรุนของตัวเร่งปฏิกิริยา AC/TiO₂ แม้ว่าในการทดลองที่เป็นชุดควบคุมจะทำการทดลองในที่มืดซึ่งไม่เกิดกระบวนการโฟโตคะตะไลติกก็ตาม และเมื่อเปรียบเทียบปริมาณความเข้มข้นของพาราควอทที่ลดลงโดยใช้กระบวนการโฟโตคะตะไลติกร่วมกับตัวเร่งปฏิกิริยา AC/TiO₂ พบว่า เมื่อเกิดปฏิกิริยาโฟโตคะตะไลติกในการกำจัดพาราควอทที่ปนเปื้อนในน้ำเสียทำให้ปริมาณความเข้มข้นของพาราควอทมีค่าลดลงอย่างต่อเนื่อง และสามารถกำจัดพาราควอทในน้ำเสียปนเปื้อนได้ดีกว่าเมื่อเปรียบเทียบกับเกิดการเกิดปฏิกิริยาคูดซับในชุดควบคุม



- × ความเข้มข้นพาราควอทเริ่มต้น 10 mg/L ◇ ความเข้มข้นพาราควอทเริ่มต้น 50 mg/L
 □ ความเข้มข้นพาราควอทเริ่มต้น 100 mg/L △ ความเข้มข้นพาราควอทเริ่มต้น 150 mg/L

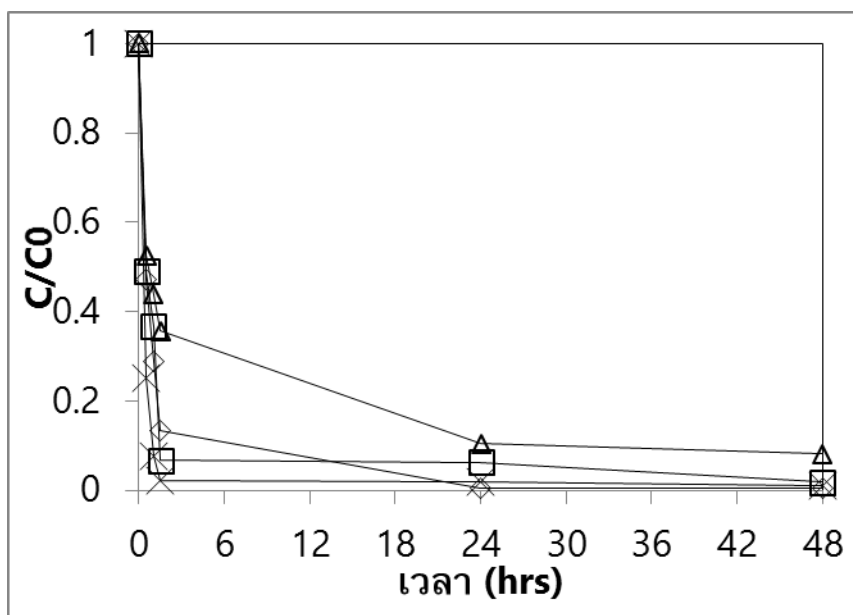
ภาพที่ 4.3 การเปลี่ยนแปลงความเข้มข้นของพาราควอทในชุดควบคุม (ในที่มืด)



- × ความเข้มข้นพาราควอทเริ่มต้น 10 mg/L ◇ ความเข้มข้นพาราควอทเริ่มต้น 50 mg/L
 □ ความเข้มข้นพาราควอทเริ่มต้น 100 mg/L △ ความเข้มข้นพาราควอทเริ่มต้น 150 mg/L

ภาพที่ 4.4 การเปลี่ยนแปลงความเข้มข้นของพาราควอทโดยกระบวนการโฟโตคะตะไลติก

เมื่อพิจารณาความสัมพันธ์ระหว่างความเข้มข้นของพาราควอทที่เปลี่ยนแปลงที่เวลาต่างๆ เทียบกับความเข้มข้นของพาราควอทเริ่มต้น (C/C_0) ซึ่งทำการทดลองโดยใช้ตัวเร่งปฏิกิริยา AC/TiO₂ ที่เตรียมได้ร่วมกับการให้แสงอัลตราไวโอเล็ต และทำการทดลองซ้ำในชุดควบคุมซึ่งใช้ตัวเร่งปฏิกิริยา AC/TiO₂ ในที่มืดซึ่งไม่มีการให้แสงอัลตราไวโอเล็ต แสดงดังภาพที่ 4.5 – 4.6



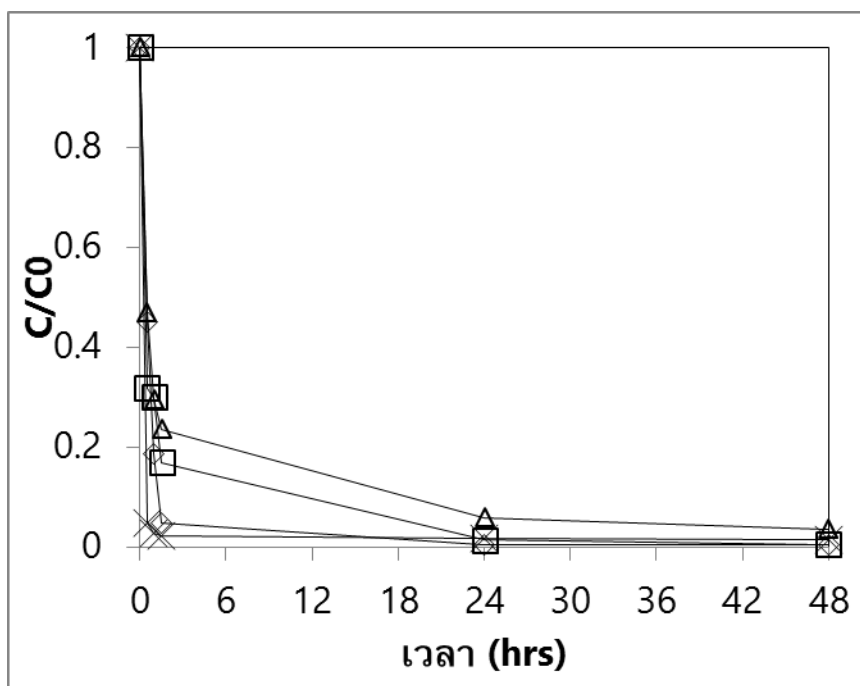
× ความเข้มข้นพาราควอทเริ่มต้น 10 mg/L

◇ ความเข้มข้นพาราควอทเริ่มต้น 50 mg/L

□ ความเข้มข้นพาราควอทเริ่มต้น 100 mg/L

△ ความเข้มข้นพาราควอทเริ่มต้น 150 mg/L

ภาพที่ 4.5 ความเข้มข้นของพาราควอทที่เปลี่ยนแปลงที่เวลาต่างๆ เทียบกับความเข้มข้นของพาราควอทเริ่มต้น (C/C_0) ในชุดควบคุม (ในที่มืด)



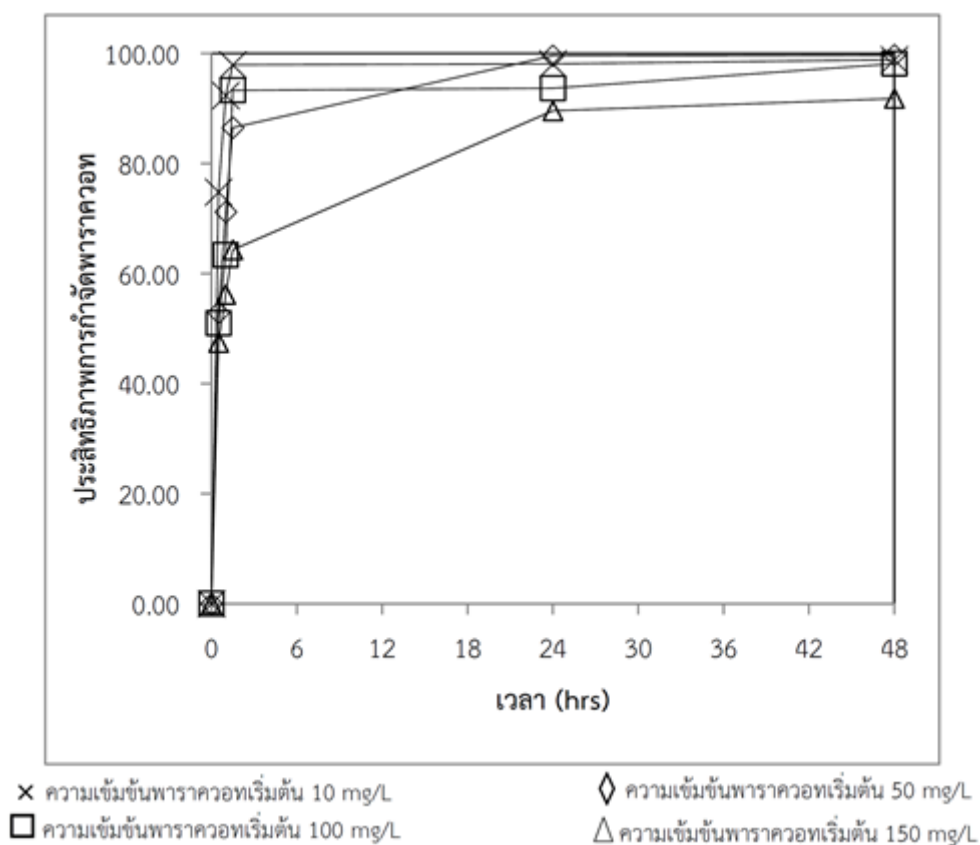
- × ความเข้มข้นพาราควอทเริ่มต้น 10 mg/L ◇ ความเข้มข้นพาราควอทเริ่มต้น 50 mg/L
 □ ความเข้มข้นพาราควอทเริ่มต้น 100 mg/L △ ความเข้มข้นพาราควอทเริ่มต้น 150 mg/L

ภาพที่ 4.6 ความเข้มข้นของพาราควอทที่เปลี่ยนแปลงที่เวลาต่างๆ เทียบกับความเข้มข้นของพาราควอทเริ่มต้น (C/C_0) ในกระบวนการโฟโตคะตะไลติก

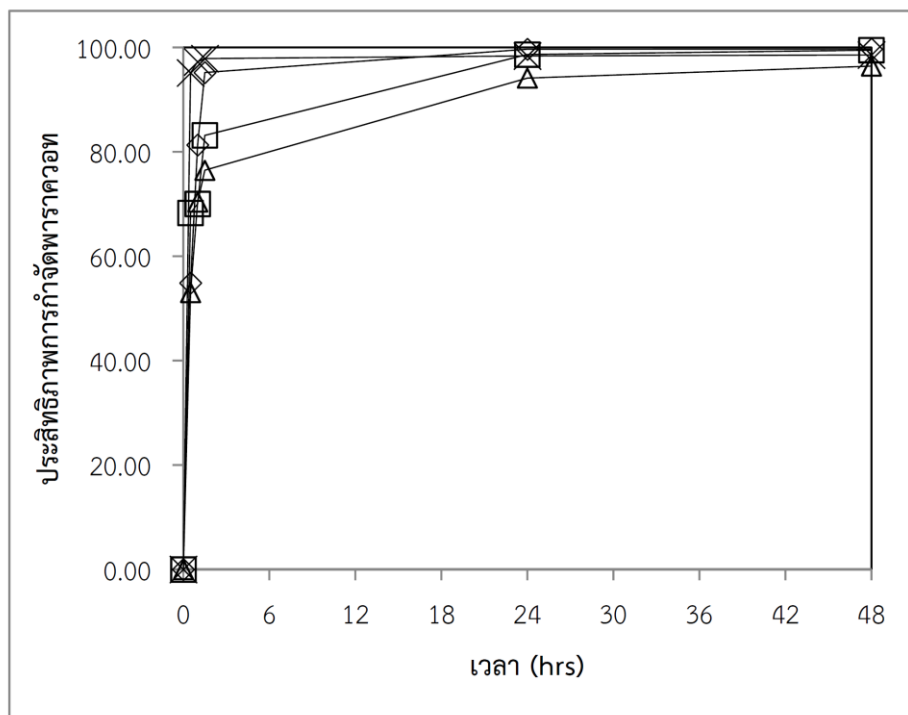
สำหรับประสิทธิภาพในการกำจัดพาราควอทซึ่งทำการทดลองโดยใช้ตัวเร่งปฏิกิริยา AC/TiO_2 ที่เตรียมได้ร่วมกับการให้แสงอัลตราไวโอเล็ต และทำการทดลองซ้ำในชุดควบคุมซึ่งใช้ตัวเร่งปฏิกิริยา AC/TiO_2 ในที่มีดซึ่งไม่มีการให้แสงอัลตราไวโอเล็ต แสดงตารางที่ 4.4 และภาพที่ 4.7 – 4.8

ตารางที่ 4.4 ประสิทธิภาพในการกำจัดพาราควอทด้วยกระบวนการโฟโตคะตะไลติกร่วมกับตัวเร่งปฏิกิริยา AC/TiO₂

เวลา (ชั่วโมง)	ประสิทธิภาพในการกำจัดพาราควอท							
	ชุดควบคุม (ที่มีด)				กระบวนการโฟโตคะตะไลติกร่วมกับ ตัวเร่งปฏิกิริยา AC/TiO ₂			
	ความเข้มข้นของพาราควอท (mg/L)							
	10.00	50.00	100.00	150.00	10.00	50.00	100.00	150.00
0	0.00	0.00	0.00	0.00	0.00	0.00	0.00	0.00
0.5	74.82	52.91	50.98	47.44	95.11	54.88	68.28	53.03
1	92.36	71.23	63.37	56.18	97.23	81.32	70.02	70.39
1.5	97.93	86.51	93.31	64.32	97.85	95.17	83.15	76.47
24	98.10	99.58	93.68	89.58	98.37	99.66	98.64	94.13
48	98.25	99.70	98.15	91.82	98.55	99.75	99.47	96.43



ภาพที่ 4.7 ประสิทธิภาพการกำจัดพาราควอทในชุดควบคุม (ในที่มีด)

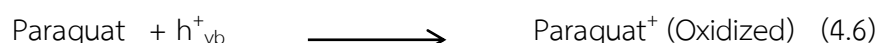
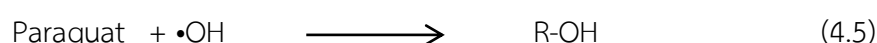
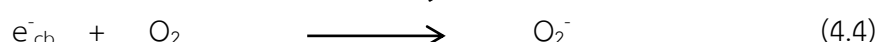
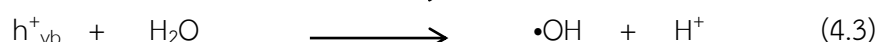
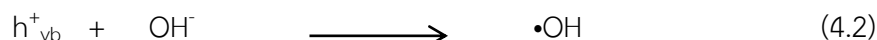
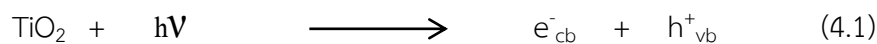


- × ความเข้มข้นพาราควอตเริ่มต้น 10 mg/L
 □ ความเข้มข้นพาราควอตเริ่มต้น 100 mg/L
 ◇ ความเข้มข้นพาราควอตเริ่มต้น 50 mg/L
 △ ความเข้มข้นพาราควอตเริ่มต้น 150 mg/L

ภาพที่ 4.8 ประสิทธิภาพการกำจัดพาราควอตด้วยกระบวนการโฟโตคะตะไลติก ร่วมกับตัวเร่งปฏิกิริยา AC/TiO₂

เมื่อพิจารณาประสิทธิภาพในการกำจัดพาราควอตซึ่งทำการทดลองโดยการใช้ตัวเร่งปฏิกิริยา AC/TiO₂ ที่เตรียมได้ร่วมกับการให้แสงอัลตราไวโอเล็ต และทำการทดลองซ้ำในชุดควบคุมซึ่งใช้ตัวเร่งปฏิกิริยา AC/TiO₂ ในที่มีดซึ่งไม่มีการให้แสงอัลตราไวโอเล็ต พบว่า ประสิทธิภาพการกำจัดพาราควอตโดยกระบวนการโฟโตคะตะไลติกโดยใช้ตัวเร่งปฏิกิริยา AC/TiO₂ ที่เตรียมขึ้นมีค่าสูงกว่าการทดลองในชุดควบคุม แสดงให้เห็นว่าในกรณีที่ทำการทดลองในชุดควบคุมเกิดกลไกการดูดซับและกลไกการดูดติดผิวเป็นกลไกหลักซึ่งขึ้นอยู่กับพื้นที่ผิวเฉพาะ ปริมาตรและขนาดของรูพรุนของ AC/TiO₂ โดยในช่วงแรกของการทำการทดลองจะเห็นได้ว่าความเข้มข้นของพาราควอตที่ปนเปื้อนในน้ำมีการลดลงอย่างรวดเร็ว และจะมีแนวโน้มเข้าสู่สมดุลในภายหลัง เนื่องจากในช่วงแรกช่องว่างของรูพรุนของ AC/TiO₂ ยังไม่มีการเติมเต็มด้วยโมเลกุลของพาราควอตทำให้สามารถเกิดกลไกการดูดซับและดูดติดผิวเข้าสู่ช่องว่างรูพรุน และผิวหน้าของ AC/TiO₂ ได้อย่างรวดเร็ว และหลังจากนั้นเมื่อช่องว่างของรูพรุนมีการเติมเต็มด้วยโมเลกุลของพาราควอตแล้วทำให้กลไกการดูดซับและการดูดติดผิวเกิดได้ช้าลงจนเข้าสู่สมดุล สำหรับประสิทธิภาพการกำจัดพาราควอตโดยกระบวนการโฟโตคะตะไลติกโดยใช้ตัวเร่งปฏิกิริยา AC/TiO₂ นอกจากจะเกิดกลไกการดูดติดผิว และกลไกการดูดซับในช่องว่างของรูพรุนแล้ว เช่นเดียวกันกับกลไกที่เกิดในชุดการทดลองที่เป็นชุดควบคุมในที่มีด โดยในกรณีที่เป็นการทดลองการเกิดกระบวนการโฟโตคะตะไลติกยังสามารถเกิดปฏิกิริยาโฟโตคะตะไลติก

กับพาราควอท โดยการเกิดปฏิกิริยาโฟโตออกซิเดชันที่ทำให้เกิด $\bullet\text{OH}$ ในระบบ ซึ่ง $\bullet\text{OH}$ สามารถไปออกซิไดซ์โมเลกุลของพาราควอททำให้สามารถกำจัดพาราควอทที่ปนเปื้อนได้ดีขึ้น นอกจากนี้โมเลกุลของพาราควอทยังสามารถถูกออกซิไดซ์โดยตรง h^+_{vb} ที่แถบวาเลนซ์ ซึ่งสามารถอธิบายได้ดังสมการที่ 4.1 -4.6

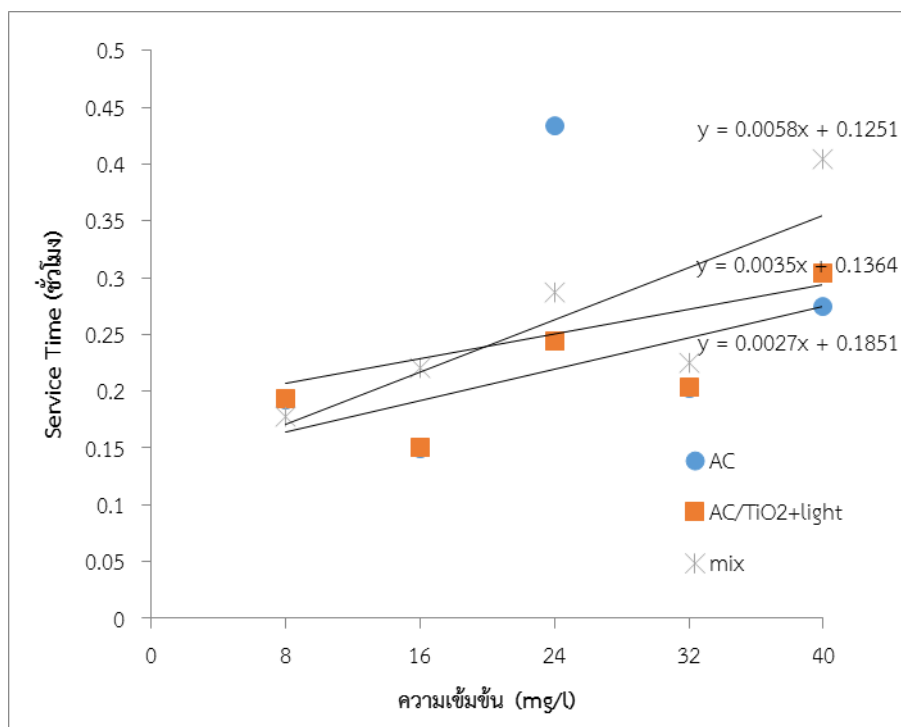


ทั้งนี้ประสิทธิภาพในการกำจัดพาราควอทจะลดลงเมื่อความเข้มข้นของพาราควอทเริ่มต้นมีค่ามากขึ้น และประสิทธิภาพสูงสุดในการกำจัดพาราควอทโดยกระบวนการโฟโตคะตะไลติกโดยการใช้ตัวเร่งปฏิกิริยา AC/TiO₂ ที่เตรียมได้ร่วมกับการให้แสงอัลตราไวโอเล็ต ที่ความเข้มข้น 10, 50, 100 และ 150 mg/L มีค่าเท่ากับ 98.55%, 99.75%, 99.47% และ 96.43% ตามลำดับ ที่เวลา 48 ชั่วโมง

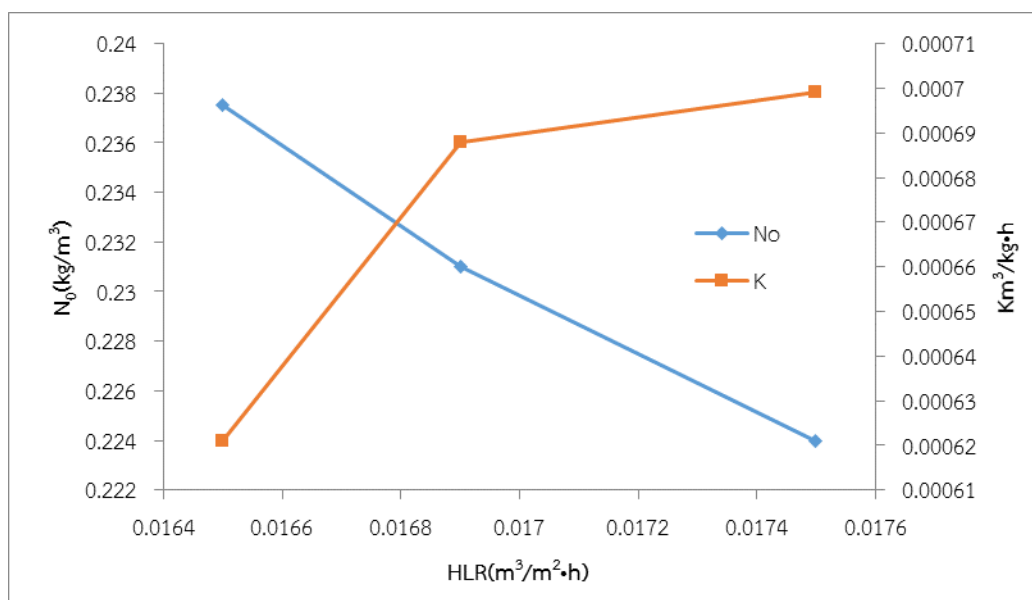
3. การศึกษาประสิทธิภาพการกำจัดพาราควอทโดยกระบวนการโฟโตคะตะไลติกในถังปฏิกรณ์แบบไหลต่อเนื่อง

การศึกษาประสิทธิภาพการกำจัดพาราควอทโดยกระบวนการโฟโตคะตะไลติกในถังปฏิกรณ์แบบไหลต่อเนื่อง โดยใช้สมการการดูดซับแบบAdams –Bohart ต่อเนื่องของ ในการอธิบายกลไกในการดูดซับของถ่านกัมมันต์ที่เตรียมขึ้นทั้ง 3 แบบ ได้แก่ AC, AC/TiO₂ และ ถ่านผสม AC และ AC/TiO₂ (mix) ซึ่งทำการทดลองโดยการใช้ น้ำปนเปื้อนพาราควอทเริ่มต้น เท่ากับ 50 ppm แล้วปล่อยให้ผ่านการบำบัดในหลอดดูดซับแบบไหลลงอย่างต่อเนื่องที่อัตราการไหลทางชลศาสตร์แตกต่างกัน 3 ค่า ได้แก่ 0.0169, 0.0175 และ 0.0165 m³/m².h หลังจากนั้นเก็บตัวอย่างน้ำเสียที่ผ่านการบำบัดที่เวลา 8, 16, 24, 32, 40 และ 64 ชั่วโมง ตามลำดับ ซึ่งผลการทดลองความสัมพันธ์ระหว่างเวลาการใช้งานและความเข้มข้นที่เหลือที่อัตราการไหลทางชลศาสตร์ต่างๆ แสดงดังภาพที่ 4.9 และความสัมพันธ์ระหว่างเวลาการใช้งานและความเข้มข้นของพาราควอทที่เหลือที่อัตราการไหลทางชลศาสตร์ต่างๆ แสดงดังภาพที่ 4.10

จากผลการทดลองสามารถใช้คำนวณค่าตัวแปรต่างๆ ในสมการ ได้ โดย Adams –Bohart และค่าสัมประสิทธิ์ทางจลนพลศาสตร์ที่ใช้ในสมการการดูดซับ ค่าพารามิเตอร์ต่างๆแบบต่อเนื่องของแสดงดังตารางที่ 4.5 ของการดูดซับพาราควอทด้วยถ่านกัมมันต์ทั้ง 3 แบบAdams –Bohart



ภาพที่ 4.9 ความสัมพันธ์ระหว่างเวลาการใช้งานและความเข้มข้นที่เหลือที่อัตราการระทางชลศาสตร์ต่างๆ



ภาพที่ 4.10 ความสัมพันธ์ระหว่างเวลาการใช้งานและความเข้มข้นของพาราควอทที่เหลือที่อัตราการระทางชลศาสตร์ต่างๆ

ตารางที่ 4.5 พารามิเตอร์ต่างๆ ที่คำนวณได้โดยสมการ Adams –Bohart

ตัวกลาง	HLR (m ³ /m ² .h)	Slope (h/m)	Intercept (h)	N ₀ (kg/m ³)	K (m ³ /kg.h)	D ₀ (m)
AC	0.0169	0.002	0.185	0.231	6.88×10 ⁻⁴	550.49
AC/TiO ₂	0.0175	0.003	0.136	0.224	6.99×10 ⁻⁴	569.34
mix	0.0165	0.005	0.125	0.234	6.21×10 ⁻⁴	537.86

จากผลการทดลองสามารถอธิบายได้ว่า เมื่ออัตราการทางชลศาสตร์มีค่าเพิ่มสูงขึ้นน้ำเสียจะมีระยะเวลาสัมผัสกับถ่านกัมมันต์ได้น้อยกว่าที่อัตราการทางชลศาสตร์ต่ำ ส่งผลให้โมเลกุลของสารมีโอกาสแทรกซึมเข้าไปภายในชั้นถ่านกัมมันต์ได้น้อย จึงทำให้ความสามารถในการดูดซับของชั้นตัวดูดซับ (N₀) มีแนวโน้มลดลงส่วนค่าคงที่ของอัตราการดูดซับ (K) และความลึกวิกฤติ (D₀) มีแนวโน้มเพิ่มขึ้น

ทั้งนี้เมื่อเปรียบเทียบความสามารถในการดูดซับสามารถสังเกตได้ว่า ที่อัตราการทางชลศาสตร์ที่ใช้ในการทดลองซึ่งมีค่าใกล้เคียงกัน โดยเมื่อพิจารณาการใช้ถ่าน AC, AC/TiO₂ และถ่านผสม ในกระบวนการดูดซับและใช้สมการการดูดซับของ Adams –Bohart ในการอธิบายกลไกในการดูดซับของถ่านกัมมันต์ ร่วมกับการอธิบายโดยใช้ผลการทดลองการศึกษาประสิทธิภาพการกำจัดพาราควอท โดยกระบวนการโฟโตคะตะไลติกซึ่งได้ทำการทดลองก่อนหน้านี้ ทำให้สามารถสรุปข้างต้นได้ว่า การเคลือบผิวถ่านกัมมันต์ด้วย TiO₂ แม้ว่าทำให้พื้นที่ผิวเฉพาะและปริมาตรรูพรุนของถ่านกัมมันต์ลดลง แต่เมื่อนำมาใช้เป็นตัวเร่งปฏิกิริยา AC/TiO₂ ในกระบวนการโฟโตคะตะไลติก ทำให้ประสิทธิภาพโดยรวมของกระบวนการในการกำจัดพาราควอทเพิ่มขึ้น แม้ว่าประสิทธิภาพในการดูดซับสารพาราควอทจะลดลง

ในส่วนของการใช้ถ่านผสมโดยในการบรรจุตัวเร่งปฏิกิริยา AC/TiO₂ ไว้ด้านนอกของหอดูดซับแบบไหลต่อเนื่อง และแกนภายในบรรจุถ่านกัมมันต์ที่ไม่ได้มีการเคลือบผิวด้วย TiO₂ จะเห็นได้ว่าเมื่อพิจารณาปริมาณสารพาราควอทที่ดูดซับได้ (N₀) พบว่า มีปริมาณสารพาราควอทที่กำจัดได้มากที่สุด แสดงให้เห็นว่าในการประยุกต์ใช้งานกระบวนการดูดซับร่วมกับกระบวนการโฟโตคะตะไลติก โดยใช้ AC/TiO₂ สามารถบรรจุ AC/TiO₂ ไว้ในบริเวณที่สัมผัสแสงอัลตราไวโอเล็ตซึ่งจะทำให้เกิดกระบวนการย่อยสลายสารปนเปื้อนโดยกระบวนการโฟโตคะตะไลติก ในขณะที่ถ่านกัมมันต์ที่ไม่ได้เคลือบตัวเร่งปฏิกิริยาจะสามารถเกิดกลไกการกำจัดสารปนเปื้อนโดยกระบวนการดูดซับเป็นหลัก